

## Układy pasywne RLC

### 1. Czas trwania: 6h

### 2. Cele ćwiczenia

- Badanie własności prostych pasywnych układów RLC.
- Badanie szeregowego obwodu rezonansowego RLC.

### 3. Wymagana znajomość pojęć

- działania na liczbach zespolonych,
- zachowanie układów RLC przy pobudzeniu sinusoidalnym, impulsowym i schodkowym,
- impedancja,
- pasmo przenoszenia,
- wzmacnienie  $K_u$  i  $K_{dB}$ ,
- charakterystyki Bodego,
- wykresy wskazowe,
- trzydecybelowa częstotliwość graniczna,
- rezonans i częstotliwość rezonansowa,
- dobroć obwodu rezonansowego.

### 4. Wstęp

#### 4.1 Uogólnione prawo Ohma

Przeprowadzając analizę obwodów prądu zmiennego, w stanie ustalonym, przy pobudzeniu sinusoidalnym wygodnie jest zastąpić chwilowe wartości prądów i napięć ich odpowiednikami w dziedzinie liczb zespolonych:

$$U(t)=U_0\sin(\omega t +\varphi) \rightarrow \mathbf{U}=\mathbf{U}_0e^{j(\omega t+\varphi)}$$

$$I(t)=I_0\sin(\omega t+\varphi) \rightarrow \mathbf{I}=\mathbf{I}_0e^{j(\omega t+\varphi)}$$

Prawdziwe wartości napięć i prądów otrzymujemy biorąc część rzeczywistą rozwiązania zespolonego:

$$U(t)=\operatorname{Re}(\mathbf{U}_0e^{j(\omega t+\varphi)}).$$

Uogólnione prawo Ohma stwierdza, że zespolony prąd  $I$  w obwodzie jest proporcjonalny do zespolonego napięcia  $U$ :

$$I = \frac{U}{Z}$$

gdzie współczynnik  $Z$  nosi nazwę *impedancji*. Impedancja w ogólności jest liczbą zespoloną:

$$Z = R + jX$$

wielkość  $R$  to *rezystancja* a  $X$  to *reaktancja*. Jednostką impedancji jest Ohm.

Wygodnie jest także wprowadzić pojęcie *admitancji* (odwrotność impedancji), której jednostką jest Siemens (S):

$$Y = \frac{1}{Z} = G + jB$$

wielkość  $G$  to *konduktancja* a  $B$  *susceptancja*.

#### 4.2 Trygonometryczny szereg Fourier'a

Funkcję okresową  $f(t)$  o okresie  $T$ , pod warunkiem spełnienia warunków Dirichleta (funkcja musi być bezwzględnie całkowalna, musi posiadać skończoną liczbę ekstremów i punktów nieciągłości) można przedstawić w postaci rozwinięcia w trygonometryczny szereg Fourier'a postaci:

$$f(t) = a_0 + 2 \sum_{k=1}^{k=\infty} [a_k \cos(k\omega t) + b_k \sin(k\omega t)]$$

gdzie:

$$\omega = \frac{2\pi}{T}$$

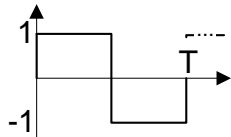
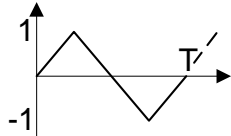
jest pulsacją podstawową,

$$a_0 = \frac{1}{T} \int_t^{t+T} f(t) dt$$

jest średnią wartością funkcji  $f(t)$ , oraz:

$$a_k = \frac{1}{T} \int_t^{t+T} f(t) \cos(k\omega t) dt \quad i \quad b_k = \frac{1}{T} \int_t^{t+T} f(t) \sin(k\omega t) dt$$

są amplitudami składowych harmonicznym przebiegu  $f(t)$ .

	$f(t) = \frac{4}{\pi} \left[ \sin(\omega t) + \frac{1}{3} \sin(3\omega t) + \frac{1}{5} \sin(5\omega t) + \dots \right]$
	$f(t) = \frac{8}{\pi^2} \left[ \sin(\omega t) - \frac{1}{3^2} \sin(3\omega t) + \frac{1}{5^2} \sin(5\omega t) - \dots \right]$

Tab. 1 Rozwinięcie Fouriera przykładowych przebiegów okresowych

### 4.3 Przekształcenie Laplace'a

Przekształcenie Laplace'a przekształca funkcję  $x(t)$  na funkcję  $X(s)$  zmiennej zespolonej  $s$ :

$$X(s) = \int_{-\infty}^{\infty} x(t) \cdot e^{-st} dt$$

Odwrotne przekształcenie Laplace'a przekształca funkcję  $X(s)$  na funkcję  $x(t)$ :

$$x(t) = \int_{-\infty}^{\infty} X(s) \cdot e^{st} ds$$

Ogólniejsza metoda operatorowa bazująca na przekształceniu Laplace'a umożliwia analizę obwodu w stanie nieustalonym oraz przy dowolnym pobudzeniu. Po rozwiązaniu równań operatorowych przejście do dziediny czasu uzyskuje się stosując odwrotne przekształcenie Laplace'a.

### 4.4 Reaktancja pojemnościowa.

Natężenie prądu płynącego przez kondensator o pojemności  $C$  wyraża się wzorem:

$$i(t) = C \frac{du(t)}{dt}$$

gdzie  $C$  jest pojemnością kondensatora i jest wyrażana w Faradach.

W przypadku pobudzenia sinusoidalnego prąd i napięcie można wyrazić w postaci zespolonej, stąd równanie przyjmuje postać:

$$Ie^{j\omega t} = C \frac{d}{dt} (U_0 e^{j\varphi} e^{j\omega t}) = Cj\omega U_0 e^{j\varphi} e^{j\omega t}$$

po przekształceniach otrzymujemy:

$$I = j\omega CU = \omega CU e^{j90^\circ} \quad \text{skąd:} \quad Z_C = \frac{U}{I} = \frac{1}{j\omega C}$$

Jak widać na pojemności napięcie jest opóźnione w stosunku do prądu o  $\frac{\pi}{2}$ .

#### 4.5 Reaktancja indukcyjna

Indukowana w cewce indukcyjnej SEM jest konsekwencją zmiany strumienia magnetycznego:

$$u(t) = L \frac{d\Phi(t)}{dt} \quad \text{ponieważ:} \quad \Phi(t) = L \cdot i(t)$$

$$u(t) = L \frac{di(t)}{dt}$$

gdzie L jest indukcyjnością cewki i jest wyrażana w Henrach.

Dokonując przekształceń w dziedzinie liczb zespolonych otrzymujemy:

$$Ue^{j\omega t} = j\omega LI_0 e^{j\omega t} = \omega LI_0 e^{j90^\circ} e^{j\omega t} \quad \text{skąd:} \quad Z_L = j\omega L$$

Jak widać na indukcyjności napięcie wyprzedza prąd o  $\frac{\pi}{2}$ .

Rezystancja	reaktancja pojemnościowa	reaktancja indukcyjna
$Z_R = R$	$Z_C = \frac{1}{j\omega C}$	$Z_L = j\omega L$

Tab. 2 Impedancja rezystora, kondensatora i indukcyjności

Reaktancje  $Z_C$  i  $Z_L$  w odróżnieniu od rezystancji  $Z_R$  zależą od pulsacji  $\omega$ .

#### 4.6 Moc średnia

Moc średnią przebiegu okresowego wyznacza się ze wzoru:

$$P_{sr} = \text{Re}(\mathbf{U} \cdot \mathbf{I}^*) = \frac{1}{T} \int_0^T U(t) I(t) dt$$

Dla przebiegu sinusoidalnego:

$$P_{sr} = \frac{1}{2} U_0 \cdot I_0 \quad \text{lub napięcie (natężenie) skuteczne:} \quad U_{sk} = \frac{U_0}{\sqrt{2}}$$

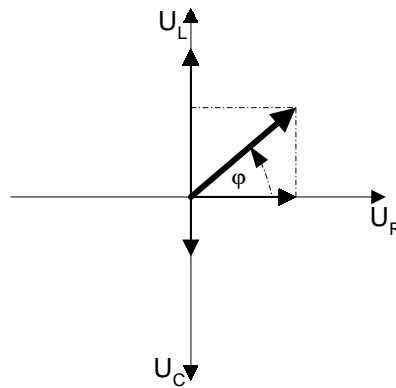
Dobroć Q układu jest miarą stosunku energii gromadzonej w układzie do energii traconej na ciepło.

	Rezystor	Kondensator	induktor
Równanie różniczkowe Napięcie	$U(t) = I(t) \cdot R$	$U_C(t) = \frac{1}{C} \int I_C(t) dt$	$U_L(t) = L \frac{dI_L(t)}{dt}$
Równanie różniczkowe Prąd	$I(t) = \frac{U(t)}{R}$	$I_C(t) = C \frac{dU_C(t)}{dt}$	$I_L(t) = \frac{1}{L} \int U_L(t) dt$
Metoda symboliczna rozkład Fourier'a	$U_R = R \cdot I_R$	$U_C = \frac{1}{j\omega} I \cdot C$	$U_L = j\omega \cdot L$
Rachunek operatorowy Transformata Laplace'a	$U_R(s) = R \cdot I_R(s)$	$U_C(s) = \frac{1}{sC} I_C(s)$	$U_L(s) = sL I_L(s)$

Tab. 3 Różne postaci uogólnionego prawa Ohma

#### 4.7 Wykresy wskazowe

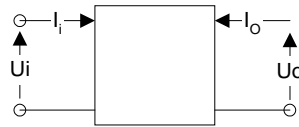
Ponieważ wartości  $U_R$ ,  $U_L$  i  $U_C$  są wielkościami wektorowymi czasami wygodnie jest przedstawiać zależności pomiędzy składowymi w układzie współrzędnych x-y (wykres wskazowy). Na osi x zaznacza się składowe rzeczywiste (rezystancyjne) a na osi y składowe urojone (reaktancyjne). Proste przekształcenia geometryczne ułatwiają analizę układu. Wektor wypadkowy co do wartości jest równy sile elektromotorycznej źródła a kąt  $\varphi$  reprezentuje wypadkową fazę.



Rys. 1. Wykres wskazowy.

#### 4.8 Elementy teorii czwórników

Czwórnik to dowolny układ o czterech końcówkach, który można całkowicie opisać za pomocą prądów i napięć wejściowych i wyjściowych ( $U_i$ ,  $I_i$ ,  $U_o$ ,  $I_o$ ) oraz ogólnych impedancyjnych ( $z$ ) lub admitancyjnych ( $y$ ) równań macierzowych:



Rys. 2 Czwórnik

$$\begin{bmatrix} U_i \\ U_o \end{bmatrix} = \begin{bmatrix} z_{11} & z_{12} \\ z_{21} & z_{22} \end{bmatrix} \begin{bmatrix} I_i \\ I_o \end{bmatrix}$$

Elementy macierzy impedancyjnej czwórnika mają następujący sens fizyczny:

$$z_{11} = \frac{U_i}{I_i} \quad \text{jest impedancją wejściową przy rozwartym wyjściu (} I_o=0 \text{)}$$

$$z_{12} = \frac{U_i}{I_o} \quad \text{jest impedancją wzajemną przy rozwartym wejściu (} I_i=0 \text{)}$$

$z_{21} = \frac{U_o}{I_i}$  jest impedancją wzajemną przy rozwartym wyjściu ( $I_o=0$ )

$z_{22} = \frac{U_o}{I_o}$  jest impedancją wyjściową przy rozwartym wejściu ( $I_i=0$ )

Zależność pomiędzy sygnałem wejściowym a wyjściowym czwórnika można również opisać za pomocą pojęcia wzmocnienia napięciowego (i/lub prądowego):

$$K_u = \frac{U_o}{U_i} \quad K_i = \frac{I_o}{I_i}$$

Wzmocnienie zwykle jest przedstawiane w skali decybelowej:

$$K_{dB} = 10 \cdot \log \left( \frac{P_o}{P_i} \right) = 20 \cdot \log \left( \frac{U_o}{U_i} \right)$$

Czwórniki można łączyć na wiele sposobów, a ich macierze przekształcać. Dla przykładu macierz admitancyjna równoległego połączenia czwórników  $y_1$  i  $y_2$  wynosi:

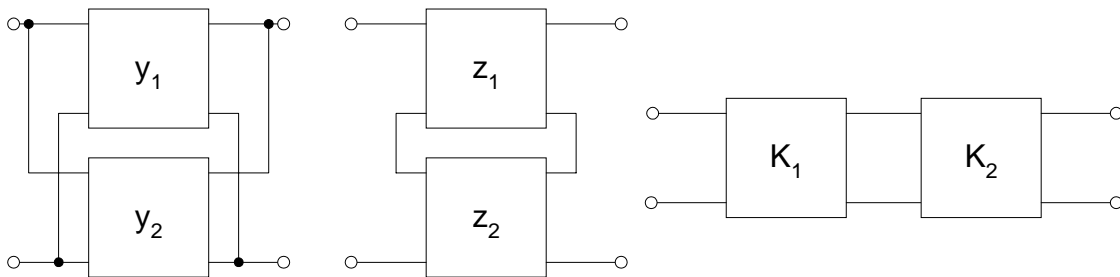
$$y = y_1 + y_2$$

a macierz impedancyjna szeregowego połączenia:

$$z = z_1 + z_2$$

Wzmocnienie kaskadowo połączonych czwórników:

$$K = K_1 \cdot K_2 \quad \text{lub} \quad K_{dB} = K_{dB1} + K_{dB2}$$



Rys. 3 Równoległe, szeregowe i kaskadowe połączenie czwórników

#### 4.9 Charakterystyka częstotliwościowa. Transmitancja

W układy liniowe opisuje się często za pomocą pojęcia transmitancji.

Transmitancją od niezerowego pobudzenia  $x(t)$  do odpowiedzi  $y(t)$  nazywamy stosunek transformaty Laplace'a odpowiedzi układu  $Y(s)$  do transformaty pobudzenia  $X(s)$ :

$$H(s) = \frac{Y(s)}{X(s)}$$

Dla układu opisanego transmitancją  $H(s)$  odpowiedź  $Y(s)$  jest iloczynem transmitancji i wymuszenia  $X(s)$ :

$$Y(s) = X(s) \cdot H(s)$$

Odpowiedź układu w dziedzinie czasu  $y(t)$  sprowadza się do odwrotnej transformaty  $Y(s)$  lub splotu wymuszenia  $x(t)$  i odwrotnej transformaty Laplace'a transmitancji  $h(t)$ :

$$y(t) = x(t) * h(t) = \int_{-\infty}^{\infty} x(\xi) h(t - \xi) d\xi \quad \text{gdzie symbol "*" oznacza operację splotu}$$

W przypadku gdy sygnałem pobudzającym jest impuls Dirac'a:

$$\delta(t) = 0 \quad \text{dla } t \neq 0$$

(którego transformatą jest  $X(s) = 1$ ) odpowiedź układu jest identyczna z transmitancją. Odwrotna transformata Laplace'a transmitancji układu jest więc jego odpowiedzią na impuls Dirac'a.

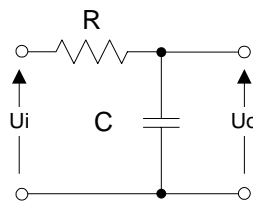


W stanie ustalonym, transmitancja  $H(s)$  może być przedstawiona jako transmitancja częstotliwościowa (widmowa)  $k(j\omega)$ , która w ogólności jest liczbą zespoloną:

$$k(j\omega) = |k(j\omega)|e^{j\varphi(\omega)}$$

Moduł transmitancji częstotliwościowej nazywamy charakterystyką amplitudową (wzmocnieniem) a czynnik  $\varphi(\omega)$  charakterystyką fazową. Charakterystykę amplitudową przedstawia się w skali decybelowej.

#### 4.10 Filtr dolnoprzepustowy RC



Rys. 4 Dolnoprzepustowy filtr RC

Układ RC przedstawiony na rys. 4 jest w ogólności dzielnikiem impedancyjnym, którego transmitancja operatorowa wynosi:

$$K_u(s) = \frac{U_o(s)}{U_i(s)} = \frac{1}{sC} \cdot \frac{1}{R + \frac{1}{sC}} = \frac{1}{1 + sRC}$$

#### 4.11 Pobudzenie filtru dolnoprzepustowego RC uskokiem jednostkowym

Zakładając, że funkcja pobudzająca jest uskokiem jednostkowym:

$$U_i(t) = \begin{cases} 0 & \text{dla } t < 0 \\ U & \text{dla } t \geq 0 \end{cases}$$

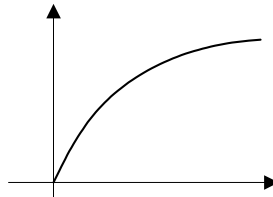
po wyliczeniu odwrotnej transformaty Laplace'a sygnału wyjściowego otrzymujemy:

$$U_o(t) = U \cdot \left(1 - e^{-\frac{t}{RC}}\right)$$

wielkość:

$$\tau=RC$$

nazywamy stałą czasową układu.



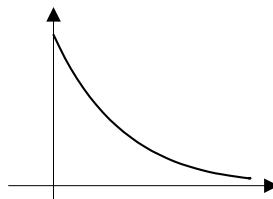
Rys. 5 Odpowiedź filtra dolnoprzepustowego na uskok jednostkowy

Stała czasowa filtra RC liczbowo odpowiada czasowi, po którym sygnał zmieni się e-krotnie.

#### 4.12 Pobudzenie filtra dolnoprzepustowego RC impulsem jednostkowym

Zakładając, że funkcją pobudzającą jest impuls Dirac'a, odpowiedzią układu w dziedzinie czasu jest odwrotna transformata Laplace'a transmitancji stąd:

$$U_o(t)=\frac{1}{RC}e^{-\frac{t}{RC}}$$



Rys. 6 Odpowiedź filtra DP na impuls Dirac'a

#### 4.13 Stan ustalony w dolnoprzepustowym filtrze RC

Dokonując formalnego podstawienia  $s=j\omega$  transmitancję napięciową układu RC można przedstawić jako:

$$K_u(j\omega)=\frac{1}{1+j(\omega/\omega_0)}$$

gdzie

$$\omega_0 = 2\pi f = \frac{1}{\tau}$$

jest pulsacją graniczną.

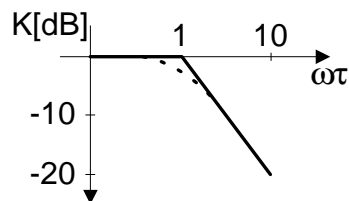
#### 4.14 Charakterystyki Bodego dolnoprzepustowego filtru RC

Charakterystykę częstotliwościową układu przedstawia się jako funkcję modułu wzmocnienia w dB w skali logarytmicznej:  $K_{dB} = f(\log(\omega))$ . Po dokonaniu uproszczeń moduł transmitancji filtru dolnoprzepustowego RC można zapisać:

$$|H(j\omega)| = \begin{cases} 1 & \text{dla } \omega < \omega_0 \\ \frac{1}{\omega\tau} & \text{dla } \omega > \omega_0 \end{cases}$$

funkcję tę można przedstawić za pomocą odcinków linii prostych.

Dla  $\omega < \omega_0$  wzmocnienie jest stałe i kąt przesunięcia jest równy zero. Dla  $\omega > \omega_0$  charakterystyka opada z szybkością  $-20\text{dB}/\text{dekadę}$  a kąt przesunięcia fazowego dąży do  $-\pi/2$ .



Rys. 7 Charakterystyka Bodego filtru dolnoprzepustowego

W punkcie  $\omega_0$ :

$$H(j\omega_0) = \frac{1}{1+j1} = \frac{1}{\sqrt{2}} e^{-j\frac{\pi}{4}}$$

charakterystyka amplitudowa opada o 3dB a przesunięcie fazowe wynosi  $-\pi/4$ .

Pasmo przenoszenia określa się jako zakres częstotliwości, w których tłumienie nie zmienia się więcej niż 3dB.

Filtr dolnoprzepustowy RC w paśmie zaporowym może być również traktowany jako układ całkujący:

$$H(s) = \frac{1}{sRC}$$

Ponieważ operator  $1/s$ , w dziedzinie czasu, odpowiada całkowaniu stąd:

$$U_o(t) = \frac{1}{RC} \int U_i(t) dt$$

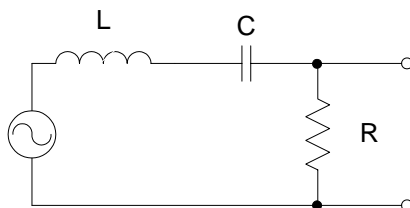
#### 4.15 Pobudzenie filtra dolnoprzepustowego RC dowolnym sygnałem okresowym

Stan ustalony na wyjściu układu liniowego może być wyliczony jako suma odpowiedzi przy pobudzeniu kolejnymi harmonicznymi sygnału wejściowego.

W filtrze dolnoprzepustowym RC tłumione są wyższe harmoniczne a postać sygnału wyjściowego zależy zarówno od sygnału wejściowego jak i od stałej czasowej filtra. Dla przykładu przy pobudzeniu filtra dolnoprzepustowego o stałej czasowej  $\tau$  przebiegiem prostokątnym o częstotliwości  $\omega > 1/\tau$  sygnał wyjściowy będzie przypominał przebieg sinusoidalny...

#### 4.16 Układ RLC (obwód rezonansowy)

W szeregowym obwodzie rezonansowym płynący prąd można wyrazić jako równanie operatorowe:



Rys. 8. Szeregowy układ rezonansowy RLC.

$$I(s) = \frac{U(s)}{\left( R + sL + \frac{1}{sC} \right)}$$

Rozwiązanie w dziedzinie czasu można uzyskać stosując odwrotną transformatę Laplace'a:

$$i(t) = \frac{U}{L\beta} e^{-\delta t} \sinh(\beta t) \quad \text{gdzie: } \delta = \frac{R}{2L} \quad \text{i} \quad \beta = \sqrt{\delta^2 - \frac{1}{LC}}$$

W zależności od tłumienia  $\delta$  otrzymuje się trzy rozwiązania: periodyczne, aperiodyczne i krytyczne.

Impedancja szeregową obwodu wynosi:

$$Z = R + j\omega L + \frac{1}{j\omega C}$$

a jej moduł:

$$|Z| = \sqrt{R^2 + \left(\omega L - \frac{1}{\omega C}\right)^2}$$

W stanie rezonansu następuje zerowanie reaktancji (znoszenie się składowych napięciowych na kondensatorze i indukcyjności). Częstotliwość rezonansowa wynosi:

$$\omega_0 = \frac{1}{\sqrt{LC}}$$

a prąd płynący w obwodzie osiąga wartość maksymalną:

$$I_{\max} = \frac{U}{R}$$

Układ RLC może być traktowany jako filtr tłumiący wszystkie częstotliwości za wyjątkiem  $\omega_0$ . Kształt charakterystyki amplitudowej  $k(j\omega)$  w znacznym stopniu zależy od dobroci układu:

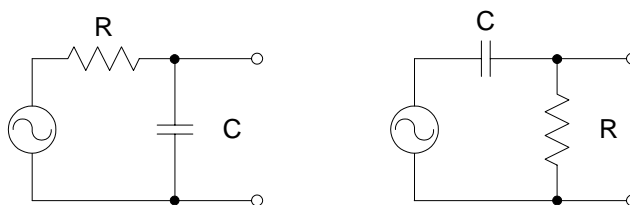
$$Q = \frac{\omega_0 L}{R}$$

Im większa dobroć tym mniejsze pasmo przenoszenia układu RLC.

## 5. Zadania pomiarowe

### 5.1. Układy filtrów RC.

- Zrealizować układy filtrów przedstawione na rys. 9. Na wejście układu, i do wejścia kanału A oscyloskopu podać sygnał sinusoidalny z generatora. Sygnał wyjściowy z filtru doprowadzić do kanału B oscyloskopu. Zmierzyć charakterystykę częstotliwościową filtrów. Wyniki zanotować w tabeli w przedstawić na wykresie Bodego. Na podstawie wartości R i C wyliczyć stałą czasową filtru i porównać ją z wartością zmierzoną doświadczalnie. Przyjąć  $U_{WE}=10V_{PP}$ ,  $R=10k\Omega$  i  $C=2.2nF$ .
- Zbadać działanie układu różniczkującego i całkującego W tym celu należy na wejście układu podać przebieg a) sinusoidalny i b) prostokątny o okresie a) mniejszym i b) większym niż stała czasowa układu i obserwować na ekranie oscyloskopu kształt przebiegu wyjściowego. Odrysować oscylogramy. Skomentować otrzymane wyniki.



Rys. 9. Filtr dolno i górno przepustowy.

f [Hz]	100	500	...	100kHz
$U_{WY}$ [V]				
$K_{dB}=20\lg(U_{WY}/U_{WE})$				

Tab. 4. Charakterystyka częstotliwościowa filtru RC.

### 4.2. Szeregowy obwód rezonansowy RLC.

Zrealizować obwód rezonansowy przedstawiony na rys. 8. Na wejście układu, i do wejścia kanału A oscyloskopu podać sygnał sinusoidalny z generatora. Sygnał wyjściowy z filtru doprowadzić do kanału B oscyloskopu. Zmierzyć charakterystykę częstotliwościową filtrów. Wyniki zanotować w tabeli w przedstawić na wykresie Bodego. Na podstawie wartości R, L i C wyliczyć częstotliwość rezonansową filtru oraz jego dobroć i porównać z wartościami zmierzonymi doświadczalnie. Oszacować pasmo przenoszenia filtru. Przyjąć  $U_{WE}=10V_{PP}$ ,  $R=1k\Omega$ ,  $L=33mH$  i  $C=2.2nF$ . Powtórzyć pomiar dla  $R=340\Omega$ . Jak wartość R wpływa na dobroć i pasmo przenoszenia?

Dla częstotliwości rezonansowej  $f_0$  oraz częstotliwości co najmniej  $0.1f_0$  i  $10f_0$  narysować wykresy fazowe. W tym celu należy dla ustalonej częstotliwości zmierzyć wartości napięć na poszczególnych elementach oraz na całym obwodzie. Napięcia należy mierzyć przy użyciu

oscylskopu i sondy. W szczególności w celu pomiaru napięcia na elementach L i C należy do ich obu końców podłączyć dwie sondy przyłączone do kanałów A i B oscylskopu. Właściwe napięcie należy odczytać po ustawieniu oscylskopu do wykonania operacji A-B. Alternatywnie, do pomiaru zamienić miejscami elementy L i C z rezystorem R. Wykonując wykresy należy pamiętać o zależnościach fazowych pomiędzy napięciami na rezystorze, kondensatorze i cewce.

Uwaga do pomiaru należy używać sondy oscylskopowej.

## **6. Przyrządy**

Generator, miernik uniwersalny, oscylskop.

## **7. Literatura**

P.Horowitz, W.Hill, „Sztuka elektroniki”, WKŁ 1995, ISBN 83-206-1128-8, Tom 1, str.33-55.

R.Śledziwski, „Elektronika dla fizyków”, PWN 1982, ISBN 83-01-04076-9, str.75-100.

M. Purcell, „Elektryczność i magnetyzm”, PWN 1974, Rozdział 8.